

鹿児島高専 正員 前藤 利一郎

多1. 序：さきに著者等は、有孔ばかり（カスナーテッドビーム）に関する研究として、拡張比の変化と応力状態との関係を調べた。¹⁾これに、種々の条件を与えて観察すると、特異点（singular-point）、すなはち、主応力(σ_x, σ_y)の方向が不定となる点、あるいは、その方向が急激に変化する点がいくつも現われるのを知るのである。特異点が現われると主応力分布を描くのが容易でない。そこで、このはりに現われる特異点と応力状態の関係を調べるために、三実験を試みることとした。ここに、その結果の一部を報告するものである。

多2. 特異点について；二次元問題の特異点に関する、奥田²⁾、Troyanoff³⁾等の研究がある。しかしながら、著者の知る限り、カスナーテッドビームについて調べた例を知らないのである。

図-1に見るように、カスナーテッドビームは、はりのウェブに六角孔が列がくから、載荷条件によって、孔縁および孔頂点に著しい応力集中が認められる。応力集中の度合いが、はりの強度に重大な影響をおぼすことは明らかである。また、この応力集中の度合いに次いで、ここで言う特異点が現われるところから、これらによる影響をも考慮する必要があると考える。いま、平面応力状態を考え、ある点が特異点となる条件式は、直角座標を x, y 、それに対応する平面応力の3成分をそれを $\sigma_x, \sigma_y, \tau_{xy}$ とすれば、主応力軸を定める式について次の関係の関係がある。

$$\tan 2\theta = 2\tau_{xy}/(\sigma_x - \sigma_y) \quad \dots \dots \dots \quad (1)$$

さて、式(1)より、主応力の方向(θ)が不定となる条件を調べるに次の通りである。

(i), ゼロ点： $\sigma_y = 0, (\sigma_x - \sigma_y) = 0$, (ii), 极： $\tau_{xy}, (\sigma_x - \sigma_y)$ の一方、または両方が無限大。(iii), 不連続点： $\sigma_y, (\sigma_x - \sigma_y)$ のいずれかが不連続となる点が考えられよう。ここに、対象とするはりに見らるるのは、大よそ(i), (ii)であろう。(i)は、暗視野の場合、光弹性シマの中の導線の黒点(σ_x, σ_y)として観察される。例えば、この点が、孔縁および自由端縁に認められるところは、応力の符号がかかる点、すなはち、引張応力⇒圧縮応力の変り目となる。(ii)は、集中荷重の載荷点、あるいは、鋭い隅角部（孔頂点）附近に著しい応力集中が認められる点などが考えられる。(iii)は、外力（荷重）が不連続分布をなす点を意味するようである。たがって、以上の条件の中、(ii), (iii)については、載荷条件によって、特異点の存在を予想し得る。(i)は、その性質の1つとして、ある箇所に現われていたゼロ点がある条件によって存在 \leftrightarrow 消滅の現象を伴う場合がある。また、ある条件で1つの定まつた経路をたどる現象がある。たがって、シマ波数の判読に当つては、この点ヒー応答を払うことが望ましい。ここでは、このはりを平面応力の状態にて、条件(i)のゼロ点近傍の応力および主応力軸について検討してみよう。

間知の通り、一般に平面応力状態での応力のクリ条件式および適合条件式は次のよう示される。

$$\frac{\partial \sigma_x}{\partial x} + \frac{\partial \tau_{xy}}{\partial y} = 0, \quad \frac{\partial \sigma_y}{\partial y} + \frac{\partial \tau_{xy}}{\partial x} = 0 \quad \dots \dots \dots \quad (2)$$

$$\left(\frac{\partial^2}{\partial x^2} + \frac{\partial^2}{\partial y^2} \right) (\sigma_x + \sigma_y) = 0 \quad \dots \dots \dots \quad (3)$$

式(2)を満足するように Airy の応力函数形を用いることより、応力は次のよう表わされる。

$$\sigma_x = \frac{\partial^2 F}{\partial y^2}, \quad \sigma_y = \frac{\partial^2 F}{\partial x^2}, \quad \tau_{xy} = -\frac{\partial^2 F}{\partial x \partial y} \quad \dots \dots \dots \quad (4)$$

式(4)は、適合条件式(3)を満足するだけではならない。式(4)を式(3)に代入すると応力函数 $F(x, y)$ が満足すべき方程式 \square 式⁴⁾が得られる。

$$\frac{\partial^4 F}{\partial x^4} + 2\frac{\partial^4 F}{\partial x^2 \partial y^2} + \frac{\partial^4 F}{\partial y^4} = 0 \quad \dots \dots \dots \quad (5)$$

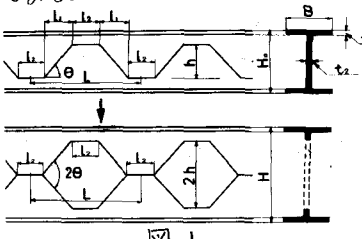


図-1.

ゼロ点近傍の主応力曲線を検討するのに、極座標 (r, θ) に書きかえると次のようになる。

$$\left(\frac{\partial^2}{\partial r^2} + \frac{1}{r^2} \frac{\partial^2}{\partial \theta^2} + \frac{1}{r} \frac{\partial}{\partial r} \right) \left(\frac{\partial^2 F}{\partial r^2} + \frac{1}{r^2} \frac{\partial^2 F}{\partial \theta^2} + \frac{1}{r} \frac{\partial F}{\partial r} \right) = 0 \quad \dots \dots \dots (6)$$

応力成分との関係を表わすと次のようになる。

$$Fr = \frac{1}{r^2} \frac{\partial^2 F}{\partial \theta^2} + \frac{1}{r} \frac{\partial F}{\partial r}, F_\theta = \frac{\partial^2 F}{\partial r^2}, Fr = \frac{1}{r^2} \frac{\partial F}{\partial \theta} - \frac{1}{r} \frac{\partial^2 F}{\partial r \partial \theta} \quad \dots \dots \dots (7)$$

式(6)を満足し、座標軸の原点を問題とするゼロ点に選び、その近傍に別の特異点が現われば、 λ ・ λ' ・ λ'' の値を保持する解を λ の級数に展開して求めると次の式が得られる。

$$F = \frac{T}{2} r^2 + \sum_{m=1}^{\infty} \frac{Y^{m+2}}{m+1} \left[\frac{1}{m} \angle_m \cos(m\theta - \lambda_m) + \frac{M_m}{m+2} \cos((m+2)\theta - \rho_m) \right] \quad \dots \dots \dots (8)$$

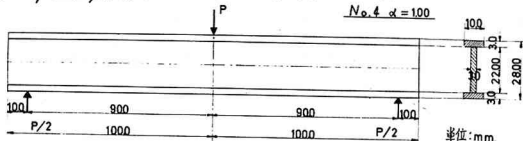
$= = =$, $m > 0$ の整数, $T, \angle_m, M_m, \lambda_m, \rho_m$ は積分定数, $\angle_m > 0, M_m > 0$ である。式(8)より、それらの応力を算定すると次のようである。

$$\begin{aligned} Fr &= \frac{1}{r^2} \frac{\partial^2 F}{\partial \theta^2} + \frac{1}{r} \frac{\partial F}{\partial r} = \sum_{m=1}^{\infty} \frac{Y^m}{m+1} \left[-\angle_m m \cos(m\theta - \lambda_m) - M_m (m+2) \cos((m+2)\theta - \rho_m) \right] \\ &\quad + T + \sum_{m=1}^{\infty} \frac{m+2}{m+1} Y^m \left[\frac{\angle_m}{m} \cos(m\theta - \lambda_m) + \frac{M_m}{m+2} \cos((m+2)\theta - \rho_m) \right] \\ &= T + \sum_{m=1}^{\infty} Y^m \left[\frac{z-m}{m} \angle_m \cos(m\theta - \lambda_m) - M_m \cos((m+2)\theta - \rho_m) \right] \end{aligned} \quad \dots \dots \dots (9)$$

$$F_\theta = \frac{\partial^2 F}{\partial r^2} = T + \sum_{m=1}^{\infty} Y^m \left[\frac{z+m}{m} \angle_m \cos(m\theta - \lambda_m) + M_m \cos((m+2)\theta - \rho_m) \right] \quad \dots \dots \dots (10)$$

$$\begin{aligned} Fr_\theta &= \frac{1}{r^2} \frac{\partial F}{\partial \theta} - \frac{1}{r} \frac{\partial^2 F}{\partial r \partial \theta} = \sum_{m=1}^{\infty} \frac{Y^m}{m+1} \left[-\angle_m \sin(m\theta - \lambda_m) - M_m \sin((m+2)\theta - \rho_m) \right] \\ &\quad - \sum_{m=1}^{\infty} \frac{m+2}{m+1} Y^m \left[-\angle_m \sin(m\theta - \lambda_m) - M_m \sin((m+2)\theta - \rho_m) \right] \end{aligned} \quad \dots \dots \dots (11)$$

$= = =$, $\angle_m \neq 0, M_m \neq 0$ とする最低の m の値を N とすれば、二つの λ はゼロ点の次数といわれるものが、通常のゼロ点には $N=0$ の場合である。



23. 実験の概要: ニニに取扱うカスオレーテッド

ビームは、図-1に見るように、切削→接着されて作ら

れる。通常、切削角度(θ)は、 $0 < 90^\circ$ の範囲が用いられるところ、

ウェイトに列ぶ孔形は六角形である。ニニでは、拡張比 $d = H/H_0$

(H_0, H , 図-1参照)の変化と特異点の関係を知るのに、フランジつきの場合(実験I), フランジを省いた場合(実験II)の

両方を試した。ニニに用いた材料は次の通りである。

まず、各後線から特異点を離れるまでの長さ、布版のエボ

キシ樹脂(3mm, 6mm)板、光弾性感度 0.82 mm/kg の偏心曲線→主応力線の

観察用には、低感度のアクリライト(3mm, 5mm)板を用いた。ウェイト板を用いた

結果は、主として同一材質の接着剤を用いた。

図-2は、実験Iの原断面を示す。試験片は、図-1, 2を参照して、表-1

に示す3種($No. 1 \sim 3$)を作成した。写真-1, 2は、アクリライト板を用いた

試験片(実験II)の例である。図-3、表-2に実験IIの試験片の例を示す。

24. 実験の結果および検討: (図-4, 5, 写真-3~12, 参照のニニ)。

写真-3~5は、実験I($No. 3$)について、荷重を一定とし、 $P = 15.9, 24.8,$

表-1

実験I	L_1	L_2	2θ	$2h$	B	t_1	t_2	H	H_0	$d = \frac{H}{H_0}$
No.1	3.75	7.50	120°	13.00	10.0	3.0	3.0	34.5	—	1.23
No.2	5.00	10.00	120°	17.32	10.0	3.0	3.0	36.68	—	1.31
No.3	7.50	15.00	120°	26.00	10.0	3.0	3.0	41.0	—	1.46
No.4	—	—	—	—	—	—	—	—	28.0	1.00

No.1

No.2

No.3

写真-1.

33.7 kgと変化させて、載荷点断面のゼロ点(黒点)の動きと、その点が

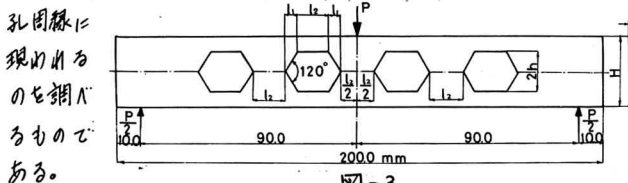


図-3

写真に見るように、孔用脚のゼロ点の動きが明らかである。

写真-6～8は、実験(I)の試験片No.1～3について、荷重を一定とした場合について、孔用脚の特異点を觀察するものである。以上と全く同様に、ゼロ点が孔頂点2→3の方向に動くのが明らかである。

これは、さきに述べた通り、応力の符号がかかる位置を意味する。これが大きく大きくなれば、孔辺の中間に現れる傾向にある。従来によて得られるシマ模様は、たゞ、主応力差(φ1-φ2)、あるいは、最大せん断応力、各(φ1-φ2)の等色線を示すシマは、周知の通りであるが、構造物を直接解析する際、本法を用うと、等傾曲線群から得られる主応力線図が重要視される場合がある。

いま、荷装置を直交偏光子のみとし、本波長板を

省くと光の強度(I)は次の式で示される。

$$I = A^2 \sin^2 2\phi \sin^2 \frac{\delta}{2} \dots \dots (12)$$

ここで、Aは偏光子を通過した偏光パックトとの振幅、δ：位相差である。

すなわち、偏光子の主軸方向と試験片の主応力

方向が一致するとともに、φ=0、φ=π/2では、δのいかんにかかわらず I=0

(暗黒)となる。図-4に実験(I)No.3の I=0 の軌跡(等傾曲線群)の例を示す。

これは、偏光子と検光子を直交位置とし、水平軸より偏光子の主軸の傾きを5°毎に傾け、0°～90°までを記録したものである。写真3～8を対比させると、ゼロ束には、全ての等傾曲線が放射状に集まり、觀察へ記録が容易である。

表-2

NO	h (mm)	H (mm)	$\alpha = \frac{H}{h_0}$	l_1 (mm)	l_2 (mm)	L (mm)
0	$h_0 = 20$		1.00	—	—	—
1	5	25	1.25	2.89	15.19	36.16
2	8	28	1.40	4.62	13.46	36.16
3	11	31	1.55	6.35	11.73	36.16
4	14	34	1.70	8.08	10.00	36.16

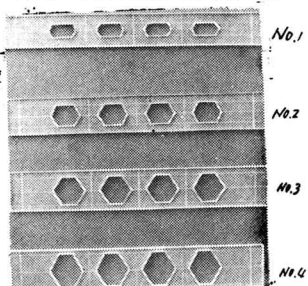


写真-2
 $P=24.8 \text{ kg}$ ↓ (No.3)

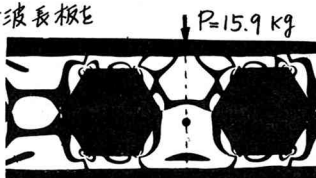


写真-4
 $P=33.7 \text{ kg}$ ↓

写真-5

図-5は図-4から得られる主応力線図を示す。ゼロ点近傍で等傾曲線がかなり複雑にならため、主応力線図が不合理となる傾向がある。これは、ウエアの干涉の複合線を上級、下級として区別している。

これは、等傾曲線を粗略へ記録する際、ある角度(主応力の傾き)では、等傾曲線の幅が広くなり、軌跡を片面にしつける場合、観察誤差を含むことが考えられよう。

この不合理になるのを除去するために、最近市販されてくる主応力線作成装置で等傾曲線を算出するために、主応力の傾きを 0° ～ 85° まで 5° 毎に撮影するなどした。

写真-9にその例を示す。写真10～12は、

実験(I)No.1～3を主応力線作成装置で等傾曲線へ記録したものである。

主応力線写真の中、ウエアの暗黒の部分は、等色線写真のシマ次数の低いところを示している。1にがく。載荷点断面に現われるゼロ点の位置が明らかである。1かくTANがく。写真に見ると3に、載荷点、おとが応力集中の著しい頂点でよくゆけ、逆に、シマ次数の高いところが、暗黒となり、不明確になる。

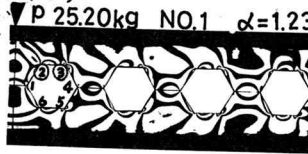


写真-7

$P=25.20 \text{ kg}$ NO.3 $\alpha=1.46$

写真-8

傾向を示す。このことは、写真-10(等傾曲線写真)から明らかのように応力集中の著しい部分で反射光がオーバーにすぎず暗黒に陥るものが想われる。すなわち、光の強度(I)に關係するものである。

星雲法の原理については、文献(5)を参照のこと。

名5 毛布化

以上の結果をまとめると次のようにある。

(1) 応力状態を調べてからひびき、せん断力が支配的である場合、
乱頂点に付、かたまりの応力集中が認められる。

したがつて、条件(iii)により頂点 2, 3, 5, 6 は、特異点の 1, 2 である

(2) 捕虫点(セロ点)が、ウエブにいくつか記されているし、等傾曲線の
網密→記録18. 網密改善を含む反復がある。

17が72、等傾曲線を用ひ主応力を解析する方法および主応力銀團の作用による相当の荷重を必要とする。

(3) 応力値数百、支柱が特異点の次数の複数、直線後が入り直角に2種類あるは等がある。

(4) セロ点が、自由開発に埋めると応力の特異の変り目となり、この点につれて留意することが望ましい。

(5) 最近、主应力線写真の作成法が研究用器にて
牛乳を全く、写真法でおさえられる方法が試せられて
いるが、第1回線写真撮影実験、コントラストの
良好な写真が望手川、猪口、応力集中の基準・孔頂点、
角点・底・載荷点近傍では、撮影が困難である。

(6) 実験(II)に於けるも同様に傾向を示す。実験(I)のアミン濃度が低下すると逆検討する必要がある。

(4) 特に、原断面については、セロ点の性質として、
ある条件で、存在したものが、存在の消失の現象を伴
う場合がある。この例、第1-13に見ると、たとえ荷条件
件の対称軸上に現われたセロ点に相当する。実験を試
みたところ、 $\sqrt{H}/D = 4.24$ で、あわせセロ点が現われた条件

1. たがつて、作られるセスキレーテッドビームにつ
いて、以下の条件の適用性は

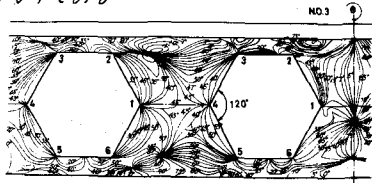
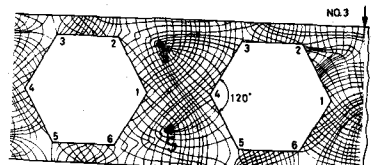


圖-4



四



四百一



四百一



四



甲子

参考文献

- (1) 村上、前藤、平野：力入射・弾性ビームの実験的研究—高さの変化と孔の間隔による—、九大工学集報 第41巻、6号
 - (2) 岩田克己：三次元弹性問題における特異点、造船協会会報 第56号。
 - (3) M. M. Filotti: photoelasticity, Vol. 1, Vol. 2
 - (4) 応力測定法：応力測定技術研究会編（潮倉書店）
 - (5) 駒井、他：光弹性による応力分布、世人断流線、写真工作成績：応力分布、Vol. 1 No. 1.
 - (6) 現田、西田、辻：光弹性実験法：日刊工業新聞社。
 - (7) 第1回光弹性シンポジウム論文集 1972年12月、光弹性研究会